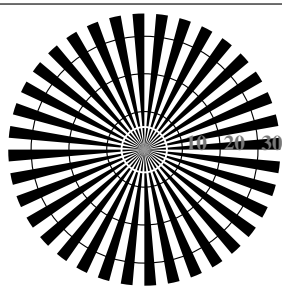
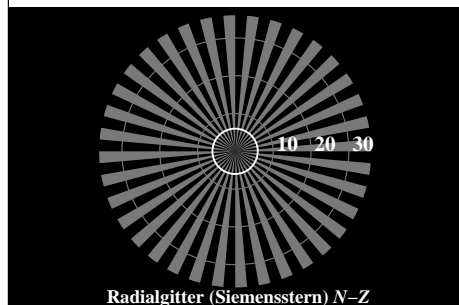


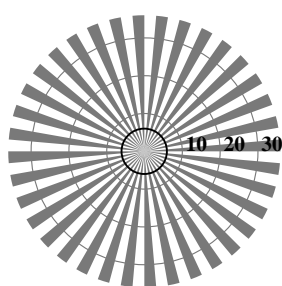
Radialgitter (Siemensstern) N-W



Radialgitter (Siemensstern) W-N



Radialgitter (Siemensstern) N-Z



Radialgitter (Siemensstern) W-Z

OG500-3N, Bild A1-131-0: Radialgitter N-W, W-N, N-Z, W-Z; PS-Operator: $w^* w^* w^* \text{setrgbcolor}$

L^*/Y_{intended} (absolut)	5.6/0.6	28.1/5.5	50.5/18.8	72.9/45.1	95.4/88.5	N_0 (min.)	W_1 (max.)
$w^* w^* w^*$ setrgb $g_N=1.08$							
Nr. und Hex-Code	00;4	01;3	02;2	03;1	04;0		
$w^*=l^*$ CIELAB, r (relativ)							
w^*_{intended}	0,000	0,250	0,500	0,750	1,000	N_0 (min.)	W_1 (max.)
w^*_{out}	0,0	0,223	0,472	0,732	1,0		

OG500-5N, Bild A2-131-0: 5 gleichabständige L^* -Graustufen+ N_0+W_1 ; PS-Operator: $w^* w^* w^* \text{setrgbcolor}$

L^*/Y_{intended} (absolut)	5.6/0.6	11.6/1.3	17.6/2.4	23.6/3.9	29.6/6.0	35.5/8.8	41.5/12.2	47.5/16.4	53.5/21.5	59.5/27.5	65.5/34.6	71.4/42.8	77.4/52.3	83.4/63.0	89.4/75.0	95.4/88.5
$w^* w^* w^*$ setrgb $g_N=1.08$																
Nr. und Hex-Code	00;F	01;E	02;D	03;C	04;B	05;A	06;9	07;8	08;7	09;6	10;5	11;4	12;3	13;2	14;1	15;0
$w^*=l^*$ CIELAB, r (relativ)																
w^*_{intended}	0,000	0,067	0,133	0,200	0,267	0,333	0,400	0,467	0,533	0,600	0,667	0,733	0,800	0,867	0,933	1,000
w^*_{out}	0,0	0,053	0,112	0,175	0,239	0,304	0,371	0,439	0,506	0,575	0,645	0,714	0,785	0,857	0,927	1,0

OG500-7N, Bild A3-131-0: 16 visuell gleichabständige L^* -Graustufen; PS-Operator: $w^* w^* w^* \text{setrgbcolor}$

OG50: ähnlich MG16 nach ISO 9241-306; 1MR, DH

Gesehener Y-Kontrast $Y_W:Y_N=88,9:0,62$; Y_N -Bereich 0,46 to <0,9
Eingabe: 000n (->rgb*d) setcmyk
Ausgabe 130-0: $g_P=1.0$; $g_N=1.08$

Umfeldstufe	0	1	Ringstufe	0-1
Hex-Code			Hex-Code	
7		8	7-8	
E		F	E-F	
2		0	2-0	
8		6	8-6	
F		D	F-D	

Landoltringe W-N

Code: Umfeld-Ring

OG501-1N, Bild A4-131-0: Landoltringe W-N; PS-Operator: $w^* w^* w^* \text{setrgbcolor}$

	120	128	136	144	152	160	168	176	184	192	200	208	216	224	232	240	
120 (+8)																	240
60 (+4)																	120
30 (+2)																	60
15 (+1)																	30
	15	16	17	18	19	20	21	22	23	24	25	26	27	28	29	30	

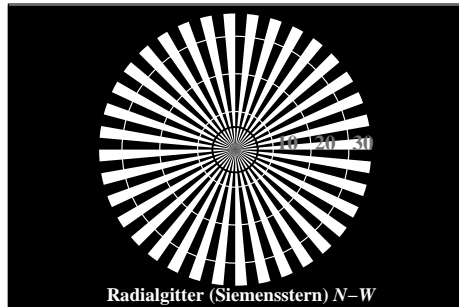
Rasterweite in lpi

OG501-3N, Bild A5-131-0: Linienraster unter 45° (oder 135°); PS-Operator: $w^* w^* w^* \text{setrgbcolor}$

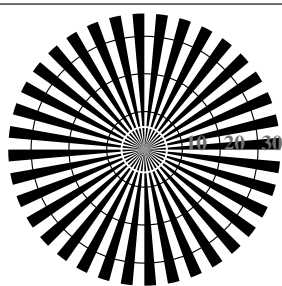
	120	128	136	144	152	160	168	176	184	192	200	208	216	224	232	240	
120 (+8)																	240
60 (+4)																	120
30 (+2)																	60
15 (+1)																	30
	15	16	17	18	19	20	21	22	23	24	25	26	27	28	29	30	

Rasterweite in lpi

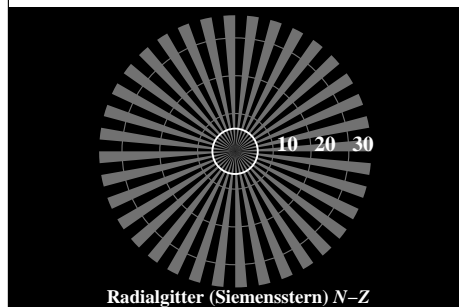
OG501-5N, Bild A6-131-0: Linienraster unter 90° (oder 0°); PS-Operator: $w^* w^* w^* \text{setrgbcolor}$



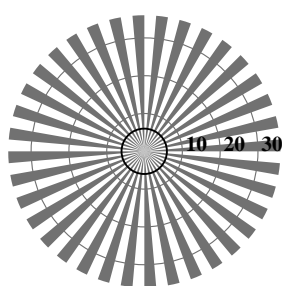
Radialgitter (Siemensstern) N-W



Radialgitter (Siemensstern) W-N



Radialgitter (Siemensstern) N-Z



Radialgitter (Siemensstern) W-Z

OG500-3N, Bild A1-132-0: Radialgitter N-W, W-N, N-Z, W-Z; PS-Operator: $w^* w^* w^* \text{setrgbcolor}$

L^*/Y_{intended} (absolut)	10.9/1.2	32.0/7.1	53.2/21.2	74.3/47.1	95.4/88.5	N_0 (min.)	W_1 (max.)
$w^* w^* w^* \text{setrgb}$							
$g_N=1.17$							
Nr. und Hex-Code	00;4	01;3	02;2	03;1	04;0		
$w^*=l^*_{\text{CIELAB},r}$ (relativ)							
w^*_{intended}	0,000	0,250	0,500	0,750	1,000	N_0 (min.)	W_1 (max.)
w^*_{out}	0,0	0,195	0,442	0,712	1,0		

OG500-5N, Bild A2-132-0: 5 gleichabständige L^* -Graustufen+ N_0+W_1 ; PS-Operator: $w^* w^* w^* \text{setrgbcolor}$

L^*/Y_{intended} (absolut)	10.9/1.2	16.6/2.2	22.2/3.5	27.8/5.4	33.5/7.7	39.1/10.7	44.7/14.3	50.3/18.7	56.0/23.9	61.6/29.9	67.2/36.9	72.8/45.0	78.5/54.1	84.1/64.3	89.7/75.8	95.4/88.5
$w^* w^* w^* \text{setrgb}$																
$g_N=1.17$																
Nr. und Hex-Code	00;F	01;E	02;D	03;C	04;B	05;A	06;9	07;8	08;7	09;6	10;5	11;4	12;3	13;2	14;1	15;0
$w^*=l^*_{\text{CIELAB},r}$ (relativ)																
w^*_{intended}	0,000	0,067	0,133	0,200	0,267	0,333	0,400	0,467	0,533	0,600	0,667	0,733	0,800	0,867	0,933	1,000
w^*_{out}	0,0	0,041	0,093	0,15	0,211	0,274	0,34	0,408	0,476	0,548	0,62	0,693	0,769	0,845	0,921	1,0

OG500-7N, Bild A3-132-0: 16 visuell gleichabständige L^* -Graustufen; PS-Operator: $w^* w^* w^* \text{setrgbcolor}$

OG50: ähnlich MG16 nach ISO 9241-306; 1MR, DH

Gesehener Y-Kontrast $Y_W:Y_N=88,9:1,25$; Y_N -Bereich 0,93 to <1,8
Eingabe: 000n (->rgb*d) setcmyk
Ausgabe 130-0: $g_P=1.0$; $g_N=1.17$

Umfeldstufe	0	7	E	2	8	F
Hex-Code						

Landoltringe W-N

Code: Umfeld-Ring

OG501-1N, Bild A4-132-0: Landoltringe W-N; PS-Operator: $w^* w^* w^* \text{setrgbcolor}$

	120	128	136	144	152	160	168	176	184	192	200	208	216	224	232	240	
120 (+8)																	240
60 (+4)																	120
30 (+2)																	60
15 (+1)																	30
	15	16	17	18	19	20	21	22	23	24	25	26	27	28	29	30	

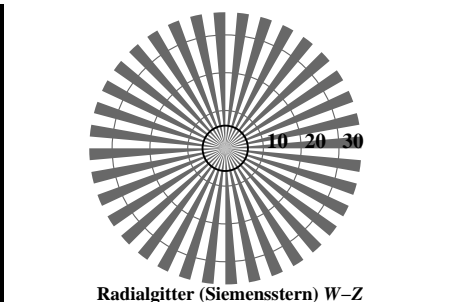
Rasterweite in lpi

OG501-3N, Bild A5-132-0: Linienraster unter 45° (oder 135°); PS-Operator: $w^* w^* w^* \text{setrgbcolor}$

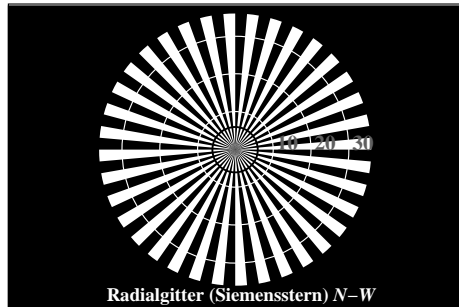
	120	128	136	144	152	160	168	176	184	192	200	208	216	224	232	240	
120 (+8)																	240
60 (+4)																	120
30 (+2)																	60
15 (+1)																	30
	15	16	17	18	19	20	21	22	23	24	25	26	27	28	29	30	

Rasterweite in lpi

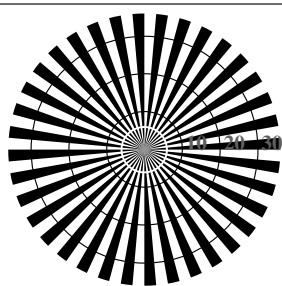
OG501-5N, Bild A6-132-0: Linienraster unter 90° (oder 0°); PS-Operator: $w^* w^* w^* \text{setrgbcolor}$



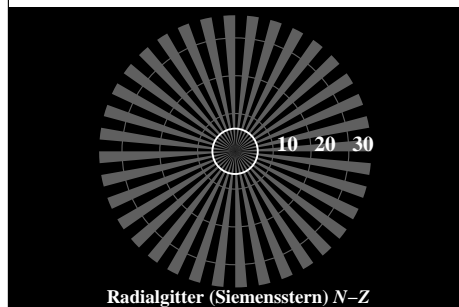
OG501-5N, Bild A6-133-0: Linienraster unter 90° (oder 0°); PS-Operator: $w^* w^* w^* setrgbcolor$



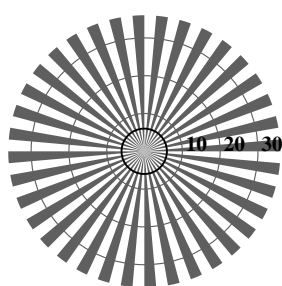
Radialgitter (Siemensstern) N-W



Radialgitter (Siemensstern) W-N



Radialgitter (Siemensstern) N-Z



Radialgitter (Siemensstern) W-Z

OG500-3N, Bild A1-134-0: Radialgitter N-W, W-N, N-Z, W-Z; PS-Operator: $w^* w^* w^* \text{setrgbcolor}$

L^*/Y_{intended} (absolut)	26.8/5.0	43.9/13.8	61.1/29.3	78.2/53.6	95.4/88.5	N_0 (min.)	W_1 (max.)
$w^* w^* w^*$ setrgb							
$g_N=1.42$							
Nr. und Hex-Code	00;4	01;3	02;2	03;1	04;0		
$w^*=l^*$ CIELAB, r (relativ)							
w^*_{intended}	0,000	0,250	0,500	0,750	1,000	N_0 (min.)	W_1 (max.)
w^*_{out}	0,0	0,138	0,371	0,663	1,0		

OG500-5N, Bild A2-134-0: 5 gleichabständige L^* -Graustufen+ N_0+W_1 ; PS-Operator: $w^* w^* w^* \text{setrgbcolor}$

L^*/Y_{intended} (absolut)	26.8/5.0	31.4/6.8	35.9/9.0	40.5/11.5	45.1/14.6	49.7/18.1	54.2/22.2	58.8/26.8	63.4/32.0	67.9/37.9	72.5/44.4	77.1/51.7	81.6/59.7	86.2/68.5	90.8/78.1	95.4/88.5
$w^* w^* w^*$ setrgb																
$g_N=1.42$																
Nr. und Hex-Code	00;F	01;E	02;D	03;C	04;B	05;A	06;9	07;8	08;7	09;6	10;5	11;4	12;3	13;2	14;1	15;0
$w^*=l^*$ CIELAB, r (relativ)																
w^*_{intended}	0,000	0,067	0,133	0,200	0,267	0,333	0,400	0,467	0,533	0,600	0,667	0,733	0,800	0,867	0,933	1,000
w^*_{out}	0,0	0,021	0,056	0,1	0,151	0,207	0,27	0,336	0,407	0,482	0,56	0,641	0,727	0,815	0,905	1,0

OG500-7N, Bild A3-134-0: 16 visuell gleichabständige L^* -Graustufen; PS-Operator: $w^* w^* w^* \text{setrgbcolor}$

OG50: ähnlich MG16 nach ISO 9241-306; 1MR, DH
Gesehener Y-Kontrast $Y_W:Y_N=88,9:5$; Y_N -Bereich 3,75 to <7,5

Umfeldstufe Hex-Code	0	7	E	2	8	F
Ringstufe Hex-Code	0-1	7-8	E-F	2-0	8-6	F-D
Landoltringe W-N						
Code: Umfeld-Ring						

OG501-1N, Bild A4-134-0: Landoltringe W-N; PS-Operator: $w^* w^* w^* \text{setrgbcolor}$

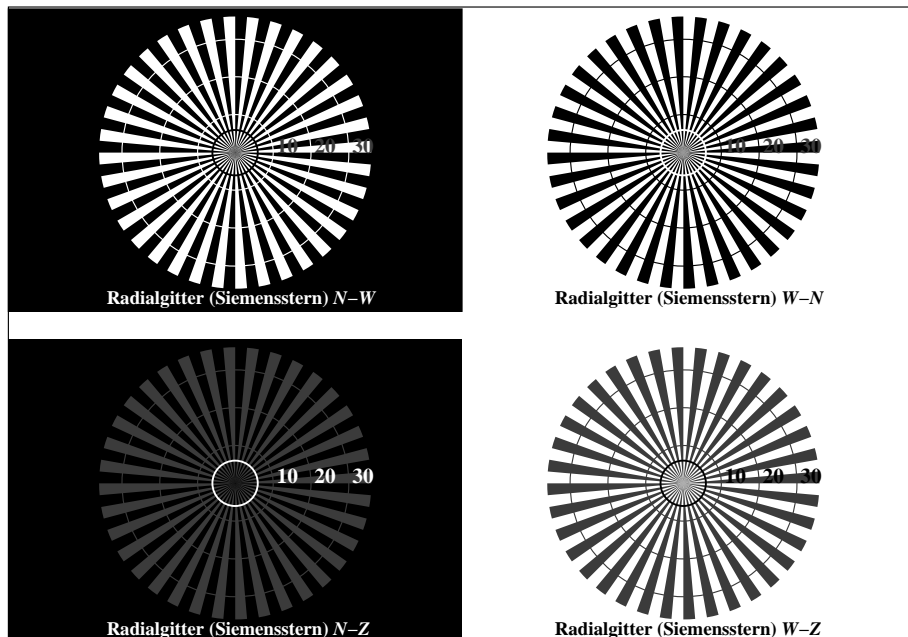
	120	128	136	144	152	160	168	176	184	192	200	208	216	224	232	240	
120 (+8)																	240
60 (+4)																	120
30 (+2)																	60
15 (+1)																	30
	15	16	17	18	19	20	21	22	23	24	25	26	27	28	29	30	
Rasterweite in lpi																	

OG501-3N, Bild A5-134-0: Linienraster unter 45° (oder 135°); PS-Operator: $w^* w^* w^* \text{setrgbcolor}$

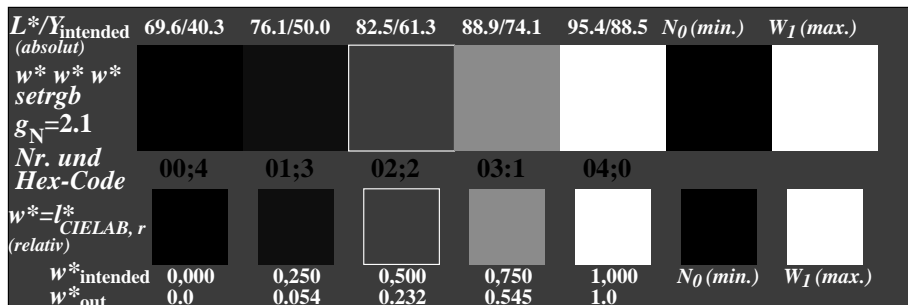
	120	128	136	144	152	160	168	176	184	192	200	208	216	224	232	240	
120 (+8)																	240
60 (+4)																	120
30 (+2)																	60
15 (+1)																	30
	15	16	17	18	19	20	21	22	23	24	25	26	27	28	29	30	
Rasterweite in lpi																	

OG501-5N, Bild A6-134-0: Linienraster unter 90° (oder 0°); PS-Operator: $w^* w^* w^* \text{setrgbcolor}$

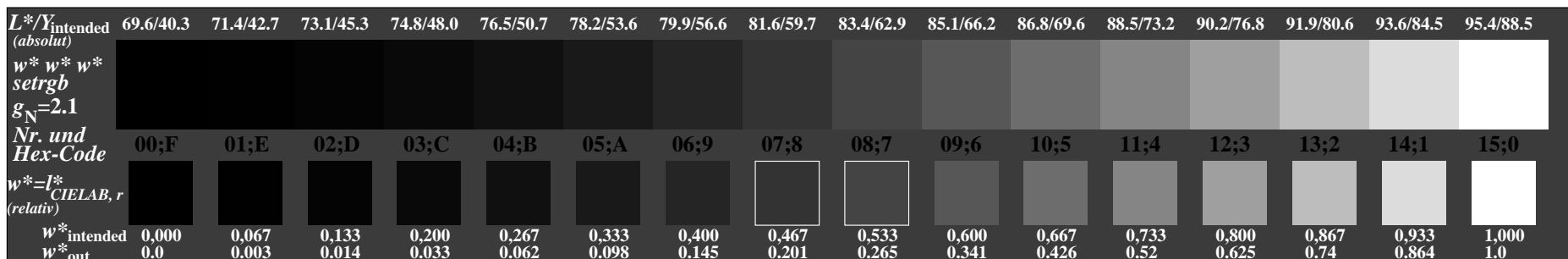
Eingabe: 000n (->rgb*d) setcmyk
Ausgabe 130-0: $g_p=1.0$; $g_N=1.42$



OG500-3N, Bild A1-137-0: Radialgitter N-W, W-N, N-Z, W-Z; PS-Operator: $w^* w^* w^* \text{setrgbcolor}$



OG500-5N, Bild A2-137-0: 5 gleichabständige L^* -Graustufen+ N_0+W_1 ; PS-Operator: $w^* w^* w^* \text{setrgbcolor}$

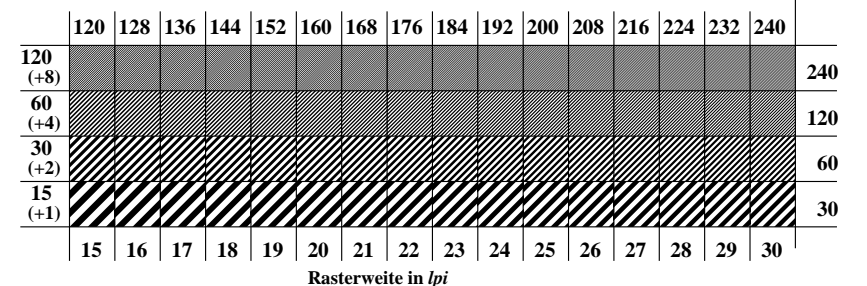


OG500-7N, Bild A3-137-0: 16 visuell gleichabständige L^* -Graustufen; PS-Operator: $w^* w^* w^* \text{setrgbcolor}$

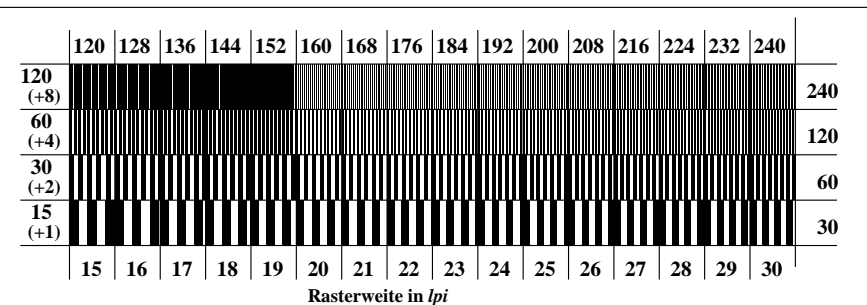
OG50: ähnlich MG16 nach ISO 9241-306; 1MR, DH
Gesehener Y-Kontrast $Y_W:Y_N=88,9:40$; Y_N -Bereich 30 to <60

Umfeldstufe Hex-Code	0	7	E	2	8	F
Ringstufe Hex-Code	0-1	7-8	E-F	2-0	8-6	F-D
Landoltringe W-N						
Code: Umfeld-Ring						

OG501-1N, Bild A4-137-0: Landoltringe W-N; PS-Operator: $w^* w^* w^* \text{setrgbcolor}$



OG501-3N, Bild A5-137-0: Linienraster unter 45° (oder 135°); PS-Operator: $w^* w^* w^* \text{setrgbcolor}$



OG501-5N, Bild A6-137-0: Linienraster unter 90° (oder 0°); PS-Operator: $w^* w^* w^* \text{setrgbcolor}$

Eingabe: $000n (->rgb^*_d) \text{setcmyk}$
Ausgabe 130-0: $g_P=1.0$; $g_N=2.1$